

## 富士川水系の多地点通日測定結果

### II 流下に伴う地球化学的水質組成の変化と物質収支について

堤 充紀 笠井和平  
沢登春成 鷹野茂夫  
高橋照美

飛田修作 小林規矩夫  
清水源治 長田照子  
青柳けい子

前報のデータ<sup>1)</sup>に基づいて富士川水系(図1)の水質の主要成分組成と流下に伴う水質組成の変化、物質収支および汚濁負荷量について検討した。

### 結果と考察

#### 1. 地球化学的な水質組成について

前報に述べた通日調査の平均値から計算して求めた水中に溶存するイオンの当量組成を表1に示した。ただし、 $\text{NH}_4^+$ と $\text{NO}_2^-$ はカチオンやアниオンに占める割合が最高でもそれぞれ0.59 eq %と0.16 eq %にすぎなかったので、この表には掲げなかったが合計には含めた。また同表の右欄にはカチオンとアニオンの当量比、ECのイオン導電率からの計算値<sup>2,3)</sup>と実測値の比を示したが、これらの比が両者とも1に近いことからみてこのイオンの分析値は信頼性が高いといえる。

表1の値から本水系のイオンの当量濃度の順位は、カチオンではいずれの地点でも、 $\text{Ca} > \text{Na} > \text{Mg} > \text{K} > \text{NH}_4^+$ でありアニオンではSt. 8(塩川)で $\text{Cl} > \text{SO}_4^{2-}$ となっていたほかは、 $\text{HCO}_3^- > \text{SO}_4^{2-} > \text{Cl} > \text{NO}_3^- > \text{PO}_4^{3-}$ 、 $\text{NO}_2^-$ であり、特に本川については $\text{Ca}$ と $\text{HCO}_3^-$ がともに50 eq %以上であった。なお重量濃度<sup>1)</sup>でみてもカチオンで上記順位が、 $\text{Mg}$ と $\text{K}$ が一部地点で入れかわるのみでアニオンでは全く変わらない。両イオンと $\text{SiO}_2$ をあわせた

無機溶存物質の重量濃度では、 $\text{HCO}_3^- > \text{Ca}, \text{SiO}_2, \text{SO}_4^{2-} > \text{Na} > \text{Cl} > \text{NO}_3^-$ 、 $\text{K}, \text{Mg} > \text{NH}_4^+, \text{PO}_4^{3-}, \text{NO}_2^-$ の順となつた。

#### 2. 流下に伴う水質組成の変化について

地球化学的な主要項目について富士川の流下に伴う水質変化の様子を検討した。ただしSt. 6については前報で述べたように、上流での大量取水やその後での山地河川の流入があるためSt. 5から上流とは同列には論じられないで、ここではSt. 1からSt. 5に限定して、盆地および都市部を含んだ流域を流下するに伴った水質変化について検討を加えた。

主要イオンの濃度変化を流程を横軸にとって表わしたもののが図2である。カチオンでは $\text{Na}$ と $\text{Mg}$ が、アニオンでは $\text{SO}_4^{2-}$ 、 $\text{Cl}$ と $\text{NO}_3^-$ が流下とともに濃度が増加している。このうち $\text{Na}$ と $\text{Cl}$ および $\text{NO}_3^-$ は田園・山林地帯を流下するSt. 1, 2間では濃度の増加は少ないが、盆地・都市部を流域にもつ笛吹川(St. 9)が流入するSt. 4, 5間では濃度の上昇が急激であった。なお $\text{Cl}$ と $\text{Na}$ の当量比( $\text{Cl}/\text{Na}$ )の変化をみるとSt. 1(0.44)からSt. 5(0.61)へ徐々に上昇していた。また $\text{SO}_4^{2-}$ はそ

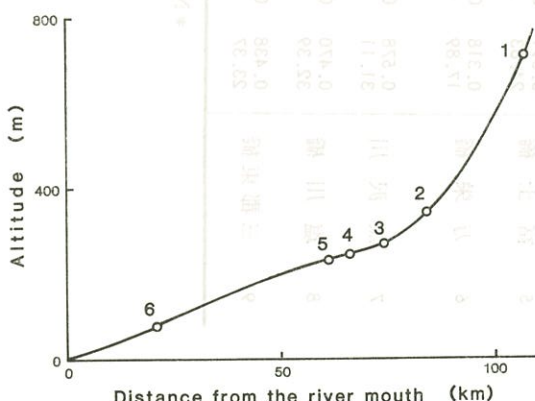


図1 富士川の縦断面図とSt. No.

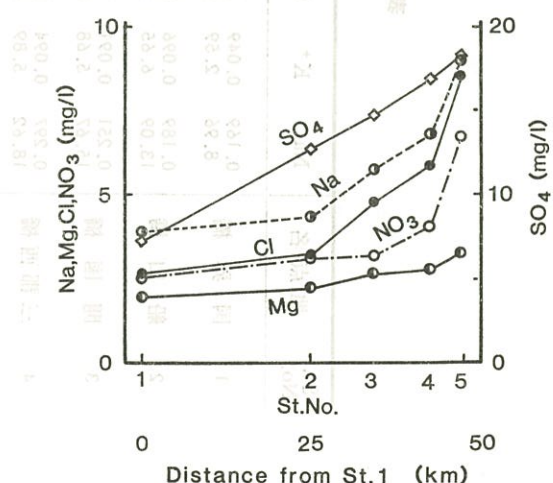
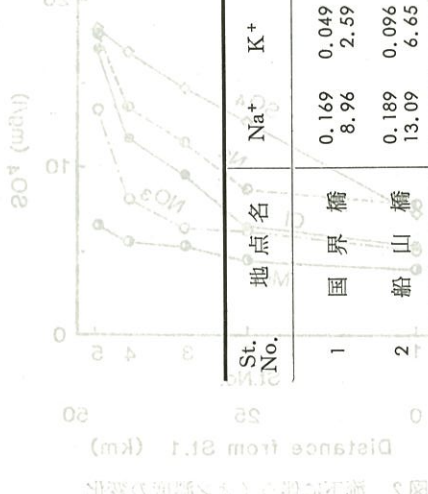


図2 流下に伴うイオン濃度の変化

表1 富士川水系のイオン当量  
(上段: meq/L, 下段: eq %)

St. No.	地點名	Na <sup>+</sup>	K <sup>+</sup>	Ca <sup>2+</sup>	Mg <sup>2+</sup>	全カルチオン	HCO <sub>3</sub> <sup>-</sup>	Cl <sup>-</sup>	SO <sub>4</sub> <sup>2-</sup>	NO <sub>3</sub> <sup>-</sup>	PO <sub>4</sub> <sup>3-</sup>	全アニオン	* EC calc./obs.
1	国界橋	0.169	0.049	1.502	0.162	1.886	1.420	0.074	0.150	0.041	0.001	1.687	1.11
2	船山橋	8.96	2.59	79.65	8.59	100.00	84.17	4.39	8.89	2.43	0.06	100.00	1.10
3	開国橋	0.189	0.096	0.975	0.183	1.444	1.000	0.091	0.264	0.051	0.001	1.407	1.01
4	三郡西橋	13.09	6.65	67.52	12.67	100.00	71.08	6.47	18.76	3.62	0.07	100.00	1.04
5	富士橋	0.251	0.091	1.044	0.216	1.602	1.072	0.135	0.305	0.051	0.002	1.565	1.03
6	万栄橋	15.67	5.68	65.17	13.48	100.00	68.50	8.63	19.49	3.26	0.12	100.00	1.02
7	黒沢川	0.297	0.094	0.975	0.228	1.595	1.061	0.166	0.352	0.065	0.002	1.647	0.97
8	塩川橋	18.62	5.89	61.14	14.29	100.00	64.42	10.08	21.37	3.95	0.12	100.00	0.97
9	三郡東橋	23.37	4.75	55.12	16.17	100.00							

\* NH<sub>4</sub><sup>+</sup>, NO<sub>2</sub><sup>-</sup>は共に他のイオンにくらべごく少ないが、それぞれカルチオン、アニオンに含めて計算してある。



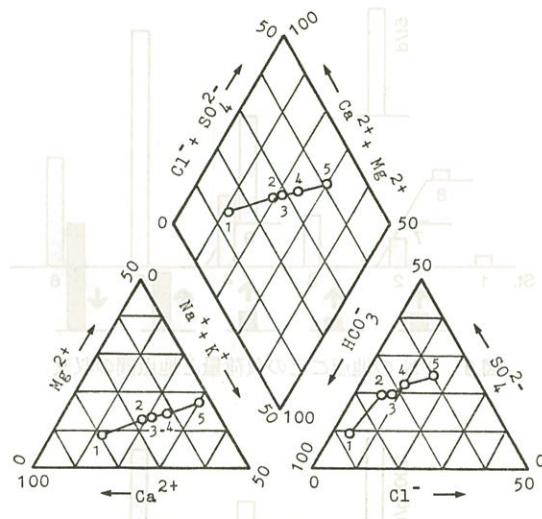


図3 菱形図と三角形表示による流下に伴うイオン組成の変化  
(図中の数字はSt. No. を表わす)

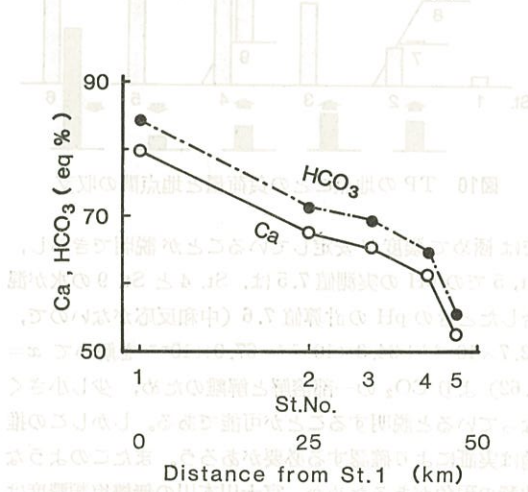


図4 流下に伴うCaとHCO<sub>3</sub>の当量組成の低下のようす

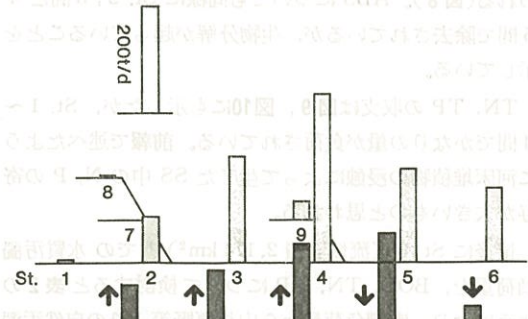


図5 S S の地点ごとの負荷量および地点間の収支

の増加の一様性と、たまたま灌漑期であったことから考えると農耕地からの肥料成分の流出も一因と思われる。

図には示さなかったが、HCO<sub>3</sub>, Ca, Kについても上述のイオンのような重量濃度の一連な増加や減少は認められなかった。

次に流下に伴う主要イオンの eq % の変化を菱形図と三角形で表したもののが図3である。流下に伴った Ca + Mg および HCO<sub>3</sub> の減少と、Na + K および Cl + SO<sub>4</sub> はともに増加し、Ca は減少することが明瞭に表わされている。すなわち富士川本川は、カチオンまたはアニオンのそれぞれ 80 eq % 以上の組成を占める Ca と HCO<sub>3</sub> の豊富な上流の水が、流下の過程で Na, Cl, SO<sub>4</sub>, NO<sub>3</sub> などのイオンの増加に伴って、Ca と HCO<sub>3</sub> の比率を 50% 台まで減少しながら流れ下っているといふことができる(図4)。

### 3. 流下に伴う物質収支について

流量と物質濃度の平均値を使って負荷量と物質収支を計算した。なお流量の収支については、最も流量の多い支川(笛吹川)の合流する地点で収支がよく合っていたことは前報で述べた。

まず SS については図5に示したように St. 1 ~ 4 間での多量の負荷と St. 4, 5 間での大量の除去が注目される。この負荷は清水らが報告しているように濃度的には砂利採取などの影響とは考えられないし<sup>4)</sup>、未測定の支川からの流入とも考えられない。また St. 4, 5 間での除去量は St. 4 と St. 9 の合計負荷量の 45%, 174 t/d にもおよぶものであり、河床勾配が St. 3, 4 間とあまり変わらない(図1)ことから考えて普通の沈澱とも考えられない。しかし、1982年8月初旬と9月中旬の2回の大河(韮崎でいずれも 3 日間に 232 mm と 260 mm<sup>5)</sup>)により St. 1 の下流約 500 m 付近から長さ 1.3 km, 幅 30 m, 深さ 13 m にもわたる古い砂礫層の大浸食があり<sup>6)</sup>それが1983年8月の豪雨(韮崎で3日間に334mm<sup>5)</sup>)によって再び浸食されたこと、1982年の大雨以来富士川の濁りがつづいていること<sup>4, 7)</sup>などから考えると、その浸食によって流出した土砂の一部が遠くまで運ばれることなく河床に堆積し、水流とともに順送りに負荷、沈澱を繰り返し、たまたまその沈澱の場所が St. 4, 5 間になつたと考えればうまく説明できる。そしてその負荷・沈澱のサイクルは河床勾配からみて、より下流へ続いて行くものと思われる。

なお St. 5, 6 間では発電用取水のためすべての物質がマイナス負荷となっている。

次に Na の収支については図6に示したが、流量の収支とよく似たものになり、このイオンの易溶性と保存性

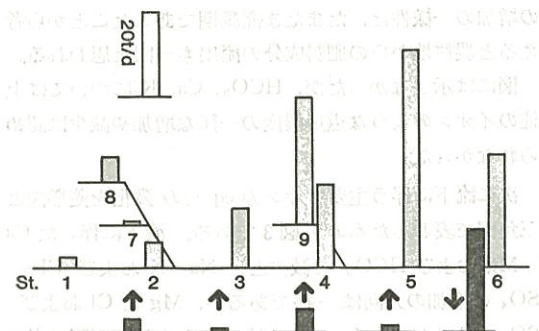


図6 Naの地点ごとの負荷量と地点間の収支

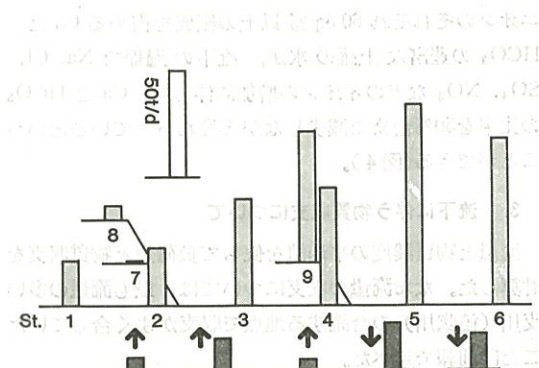


図7 Caの地点ごとの負荷量と地点間の収支

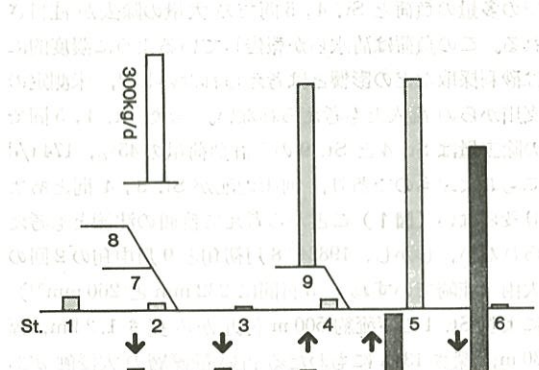


図8 NH<sub>3</sub>-Nの地点ごとの負荷量と地点間の収支

また Ca は図 7 に示したように St. 4, 5 間で 22 t/d 除去されているし, HCO<sub>3</sub><sup>-</sup> も St. 4, 5 間で 72 t/d 除去されている。Ca と HCO<sub>3</sub><sup>-</sup> の除去量の当量比は 1.07 : 1 となっているので, CaCO<sub>3</sub> の形で 1 日約 90 トン沈殿していることになる。この原因としては pH の異なる St. 4 と St. 9 の水 (pH 8.1 と 7.4) が混合して, St. 4 からみれば pH が下がったため, Ca<sup>2+</sup> + 2HCO<sub>3</sub><sup>-</sup> → CaCO<sub>3</sub> + H<sub>2</sub>O + CO<sub>2</sub>↑ の反応が進行したものと考えられる。このように考えると前報で述べた St. 4 と 9 で濃度変動の大いき Ca が、合流したのち過飽和となって沈殿し, St. 5

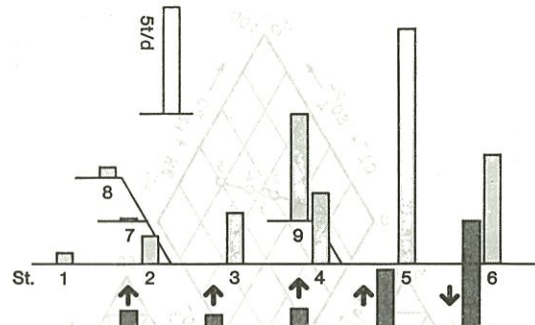


図9 TN の地点ごとの負荷量と地点間の収支

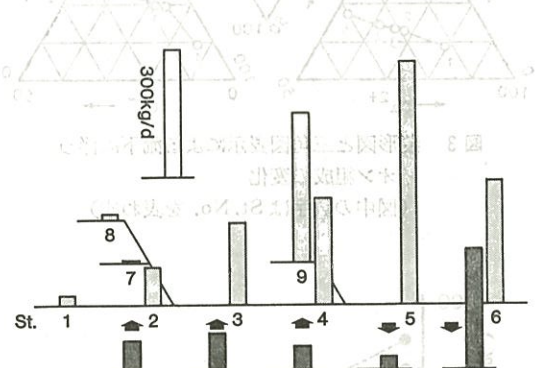


図10 TP の地点ごとの負荷量と地点間の収支

では極めて濃度が安定していることが説明できるし, St. 5 での pH の実測値 7.5 は, St. 4 と St. 9 の水が混合したときの pH の計算値 7.6 (中和反応がないので,  $32.7 \times 10^{-8.1} + 34.3 \times 10^{-7.4} = 67.0 \times 10^{-x}$  を解いて  $x = 7.62$ ) より CO<sub>2</sub> の一部溶解と解離のため, 少し小さくなっていると説明することが可能である。しかしこの推論は実証により確認する必要がある。またこのような沈殿の現象があるためか, 富士川本川の無機塩類濃度は流下によっても顕著には増加していない<sup>11)</sup>。

NH<sub>3</sub>-N は St. 1, 2 間と St. 2, 3 の間で実測負荷量の約 50% が除去されているが硝化や揮散によるものと思われる(図 8)。ABS についても同様に St. 2, 3 間と 4, 5 間で除去されているが, 生物分解が起っていることを示している。

TN, TP の収支は図 9, 図 10 にも示したが, St. 1 ~ 4 間でかなりの量が負荷されている。前報で述べたように河床堆積物の浸蝕によって生じた SS 中の N, P の寄与が大きいものと思われる。

最後に St. 5 (流域面積 2,174 km<sup>2</sup>)<sup>8)</sup> での水質汚濁負荷量を, BOD, TN, TP について検討すると表 2 のようになり, 実測負荷量から山林原野等よりの自然汚濁負荷量 (流達率は 100 %とした) を減じた人為汚濁負荷量は, BOD 7.4 t/d, TN 6.9 t/d, TP 0.46 t/d とな

表2 富士橋地点(St.5)での汚濁負荷量 (流域面積 2,174 km<sup>2</sup>, 人口 520×10<sup>3</sup>人)

No.	項目	単位	BOD	TN	TP	備考
1	実測汚濁負荷流出量	t/d	9.0	11.0	0.57	本調査
2	自然汚濁負荷量原単位	kg/d, km <sup>2</sup>	0.75 <sup>10)</sup>	1.9 <sup>10)</sup>	0.05 <sup>9)</sup>	
3	自然汚濁負荷量	t/d	1.6	4.1	0.11	No. 2×流域面積
4	人為汚濁負荷量	t/d	7.4	6.9	0.46	No. 1-No. 3
5	人為汚濁負荷量*	g/d, 人	14	13	0.88	No. 4/人口
6	家庭污水発生負荷量原単位	g/d, 人	50	12	1.8	文献10)
7	人為汚濁負荷除去率*	%	72	-8.3	51	1-No. 5/No. 6

\*すべての産業による負荷量を0, 人為汚濁負荷は家庭污水のみとし, かつその処理も全くしないと仮定したときの値

流域内での農業を含めたすべての産業による負荷量はゼロで, 人為負荷は家庭污水のみでしかもその処理は全く行われていないと仮定した場合のSt. 5までの除去率を算出すると, BODは72%, TPは51%除去されていることになる。それゆえ, 全発生負荷量のSt. 5までの除去率はそれ以上となるはずである。しかし, TNはかえって負荷されている計算になり農耕地等からのNの流亡による負荷が大きいことを示唆している。

筆者らはさらにひきつづいて流域内の農業, 産業活動による負荷, 家庭污水の処理形態と流出負荷および自然負荷量の調査により, さらに精度の高い人為負荷量の実態の解明に努め富士川の環境維持ないし美化の対策に役立てたいと考えている。

### 結果 むすび

富士川水系9地点の同時通日調査結果の解析により次のような結果を得た。<sup>1)</sup>図1, ト, ムを示す。

1. 無機溶存物質の重量濃度は  $\text{HCO}_3 > \text{Ca}, \text{SiO}_2, \text{SO}_4 > \text{Na} > \text{Cl} > \text{NO}_3, \text{K}, \text{Mg} > \text{NH}_4, \text{PO}_4, \text{NO}_2$  の順であり, 本川では Ca と  $\text{HCO}_3$  がそれぞれカチオン, アニオンの 50 eq %以上を占めていた。<sup>2)</sup> 富士川衛生年報

2. 上流の Ca と  $\text{HCO}_3$  の豊富な水は流下するに従って Na, Cl, SO<sub>4</sub>, NO<sub>3</sub>などの比率が増してきて, 一部は  $\text{CaCO}_3$  として沈殿しているものと思われる。そのためか下流でも塩類濃度はそれほど増加しない。

3. SS は St. 1~4 間で多量に負荷されるが, St. 4~5 間ではかなり沈殿する。その SS は河床の浸食作用によるものと推定された。

4. 富士橋(St. 5)までの流域では BOD は発生負荷

量の72%以上が除去されていると概算された。さらに負荷量を下げるためには処理実態や発生量<sup>10)</sup>から考えて, 家庭雑排水の有効な処理が望まれる。

5. N の除去率は低く農耕地からのN肥料の流亡等の大きいことが示唆された。

前報を含め本調査を行うにあたり当研究所の田中正二郎, 田中久両研究員ならびに山梨県環境公害課, 垂崎, 小笠原, 身延各保健所の多数の職員の御協力を得た, ここに厚く感謝する。

### 文 献

- 1) 堤充紀ら: 山梨県衛生年報 27, 25~32 (1983)
- 2) APHA-AWWA-WPCF: Standard Methods, p. 32 (1980)
- 3) 日本水道協会: 上水試験方法, p. 296 (1978)
- 4) 清水源治, 笠井和平: 山梨衛生年報 27, 38~43 (1983)
- 5) 甲府地方気象台編: 山梨県気象月報 (1982, 3年各月)
- 6) 口野道男: ミニグランドキャニオン, 山梨日日新聞社 (1983)
- 7) 山梨県: 公共用水域水質測定結果 (各年度)
- 8) 国土庁土地局: 山梨地域主要水系調査書 (富士川) (1983)
- 9) 土木学会: 比叢湖の将来水質に関する報告書, p. 56 (1970)
- 10) 日本下水道協会: 流域別下水道整備総合計画調査, 指針と解説 (1983)

